Mar. 2004

求解对流扩散方程的一类交替分组显式方法。

黄素珍

(南京航空航天大学 理学院 ,江苏 南京 210016)

摘 要利用第二类 Saul 'yev 非对称格式给出了对流扩散方程的一类交替分组显格式。该方法具有并行本性,并且绝对稳定。数值结果表明,对对流扩散方程给出的 AGE 算法明显优于 Evans 和 Abdullal [2] 所提出的交替分组显格式,因此本方法是一种有效算法。

关键词 交替分组显式方法;非对称差分格式;绝对稳定;并行计算

中图分类号:0241

文献标识码 :A

文章编号:1671-5322(2004)01-0012-05

本文考虑的对流扩散问题为

$$\frac{\partial u}{\partial t} + k_1 \frac{\partial u}{\partial x} = d \frac{\partial^2 u}{\partial x^2} \qquad 0 \le x \le l \ \mathcal{O} < t < T; \tag{1}$$

$$u(x 0) = f(x) \qquad 0 < x < l; \tag{2}$$

$$u(0,t) = g_1(t), u(l,t) = g_2(t) 0 < t < T;$$
 (3)

求解 1)已有很多显式和隐式差分方法。显式方法很适合于并行计算,但由于稳定性条件的限制,必须采用非常小的时间步长来计算。隐式格式一般无条件稳定,但在每一时间层上要求解线性方程组,实现并行计算有一定困难。D.J. Evans 和 A.R.B. Abdullal $^{[1-2]}$ 巧妙地利用 Saul 'yev 非对称格式,设计了适合于并行计算的交替分组显式(AGE)方法。张宝琳等 $^{[3-4]}$ 又提出了交替分段、分块的显 – 隐方法。王文治 $^{[5]}$ 利用第二类 Saul 'yev 非对称格式 构造了扩散方程的一类分组显格式。本文根据文献 5 冲关于扩散问题的方法,并采用不同于文献 3 的对流项处理方式 给出了对流扩散方程的一类交替分组显格式,分析了方法的稳定性。数值试验结果表明,方法使用方便 适合并行计算,并且有较好的精度。

1 交替分组显式方法

首先将区域 $(0,l)\times(0,T)$ 进行剖分 ,记空间步长 h=l/L ,时间步长为 $\tau=[T/N]$, $x_i=ih(i=0,1,T)$

...,
$$L$$
), $t_n = n(n = 0, 1, ..., N)$, id $r = \frac{d\tau}{h^2}$, $p = \frac{k_1 \tau}{2h}$,

则方程(1)的显式格式为

$$U_i^{n+1} - U_i^n + p(U_{i+1}^n - U_{i-1}^n) = r(U_{i+1}^n - 2U_i^n + U_{i-1}^n),$$

初始条件和边界条件分别离散为

$$U_1^0 = f(ih)(i = 1...L - 1); U_0^n = g_1(n\tau), U_L^n = g_2(n\tau)(n = 1...N).$$

逼近方程(1.1)的隐式格式为

$$U_i^{n+1} - U_i^n + p(U_{i+1}^{n+1} - U_{i-1}^{n+1}) = r(U_{i+1}^{n+1} - 2U_i^{n+1} + U_{i-1}^{n+1}).$$

再给出以下 4 个第二类 Saul 'yev 非对称格式^[6]为

$$-\frac{1}{2}(p+r)U_{i-1}^{n+1}+(1+\frac{r}{2})U_{i}^{n+1}=\frac{1}{2}(p+r)U_{i-1}^{n}+(1-\frac{3r}{2})U_{i}^{n}-(p-r)U_{i+1}^{n}, \qquad (4)$$

^{*} 收稿日期 2003 – 11 – 6 作者简介 黄素珍 (1976 –),女 江苏大丰市人 ,盐城工学院助教 ,南京航空航天大学在职项士研究生。

$$(1 + \frac{r}{2})U_i^{n+1} + \frac{1}{2}(p-r)U_{i+1}^{n+1} = (p+r)U_{i-1}^n + (1 - \frac{3r}{2})U_i^n - \frac{1}{2}(p-r)U_{i+1}^n ,$$
 (5)

$$-\frac{1}{2}(p+r)U_{i-1}^{n+1}+(1+\frac{3r}{2})U_{i}^{n+1}+(p-r)U_{i+1}^{n+1}=\frac{1}{2}(p+r)U_{i-1}^{n}+(1-\frac{r}{2})U_{i}^{n}, \qquad (6)$$

$$-(p+r)U_{i-1}^{n+1}+(1+\frac{3r}{2})U_{i}^{n+1}+\frac{1}{2}(p-r)U_{i+1}^{n+1}=(1-\frac{r}{2})U_{i}^{n}-\frac{1}{2}(p-r)U_{i+1}^{n}$$

在交替分组方法的设计中,我们还用到三种分组模式:由四个空间坐标是 I_j+1 , I_j+2 , I_j+3 , I_j+4 的内点组成的 GM 组、靠近左边界的两内点组成的 GL 组和靠近右边界的两内点组成的 GR 组。在 GM 组上对方程从左至右依次应用(2.2)(2.3)(2.4)和(2.1)式构造差分格式

$$\begin{cases} 1 + \frac{r}{2} \mathcal{U}_{I_{j}+1}^{n+1} + \frac{1}{2} (p-r) \mathcal{U}_{I_{j}+2}^{n+1} &= (p+r) \mathcal{U}_{I_{j}}^{n} + (1 - \frac{3r}{2}) \mathcal{U}_{I_{j}+1}^{n} - \frac{1}{2} (p-r) \mathcal{U}_{I_{j}+2}^{n} , \\ - \frac{1}{2} (p+r) \mathcal{U}_{I_{j}+1}^{n+1} + (1 + \frac{3r}{2}) \mathcal{U}_{I_{j}+2}^{n+1} &+ (p-r) \mathcal{U}_{I_{j}+3}^{n+1} &= \frac{1}{2} (p+r) \mathcal{U}_{I_{j}+1}^{n} + (1 - \frac{r}{2}) \mathcal{U}_{I_{j}+2}^{n} , \\ - (p+r) \mathcal{U}_{I_{j}+2}^{n+1} + (1 + \frac{3r}{2}) \mathcal{U}_{I_{j}+3}^{n+1} &+ \frac{1}{2} (p-r) \mathcal{U}_{I_{j}+4}^{n+1} &= (1 - \frac{r}{2}) \mathcal{U}_{I_{j}+3}^{n} - \frac{1}{2} (p-r) \mathcal{U}_{I_{j}+4}^{n} , \\ - \frac{1}{2} (p+r) \mathcal{U}_{I_{j}+3}^{n+1} &+ (1 + \frac{r}{2}) \mathcal{U}_{I_{j}+4}^{n+1} &= \frac{1}{2} (p+r) \mathcal{U}_{I_{j}+3}^{n} + (1 - \frac{3r}{2}) \mathcal{U}_{I_{j}+4}^{n} - (p-r) \mathcal{U}_{I_{j}+5}^{n} , \end{cases}$$

若记 $\overline{U_{I_{i}}^{n}}$ =($U_{I_{j}+1}^{n}$, $U_{I_{j}+2}^{n}$, $U_{I_{j}+3}^{n}$, $U_{I_{j}+4}^{n}$) T , F_{j} =((r+p) $U_{I_{j}}^{n}$.0.0.(r-p) $U_{I_{j}+5}^{n}$) T (8)式的矩阵形式可写成 $A\ \overline{U_{I_{i}}^{n+1}} = B\ \overline{U_{I_{i}}^{n}} + F_{j} \ , \tag{9}$

其中
$$A = \begin{bmatrix} 1 + \frac{r}{2} & \frac{1}{2}(p-r) \\ -\frac{1}{2}(p+r) & 1 + \frac{3r}{2} & p-r \\ & -(p+r) & 1 + \frac{3r}{2} & \frac{1}{2}(p-r) \\ & & -\frac{1}{2}(p+r) & 1 + \frac{r}{2} \end{bmatrix}$$

$$B = \begin{bmatrix} 1 - \frac{3r}{2} & -\frac{1}{2}(p-r) \\ \frac{1}{2}(p+r) & 1 - \frac{r}{2} \\ & & 1 - \frac{r}{2} & -\frac{1}{2}(p-r) \\ \frac{1}{2}(p+r) & 1 - \frac{3r}{2} \end{bmatrix}$$

因为de(A) = $1+4r+\frac{9}{2}r^2+2r^3+\frac{5}{16}r^4+\frac{1}{16}p^4+p^2(\frac{5}{8}r^2+2r+\frac{3}{2})\neq 0$,所以 A 可逆。于是由(9)可以显式地求出 $\overline{U_{I_i}^{n+1}}$: $\overline{U_{I_i}^{n+1}}=A^{-1}B$ $\overline{U_{I_i}^{n+1}}+A^{-1}F_j$ 。

另外,在 GL和GR组上对方程(1)分别构造由非对称格式组成的差分格式(10)和(11)如下:

$$\begin{cases} \left(1 + \frac{3r}{2}\right)U_1^{n+1} + \frac{1}{2}(p-r)U_2^{n+1} = \left(1 - \frac{r}{2}\right)U_1^n - \frac{1}{2}(p-r)U_2^n + (p+r)U_0^{n+1}, \\ -\frac{1}{2}(p+r)U_1^{n+1} + \left(1 + \frac{r}{2}\right)U_2^{n+1} = \frac{1}{2}(p+r)U_1^n + \left(1 - \frac{3r}{2}\right)U_2^n - (p-r)U_3^n. \end{cases}$$
(10)

$$\begin{cases}
(1 + \frac{r}{2})U_{L-2}^{n+1} + \frac{1}{2}(p-r)U_{L-1}^{n+1} = (p+r)U_{L-3}^{n+1} + (1 - \frac{3r}{2})U_{L-2}^{n} - \frac{1}{2}(p-r)U_{L-1}^{n}, \\
-\frac{1}{2}(p+r)U_{L-2}^{n+1} + (1 + \frac{3r}{2})U_{L-1}^{n+1} = \frac{1}{2}(p+r)U_{L-2}^{n} + (1 - \frac{r}{2})U_{L-1}^{n} - (p-r)U_{L}^{n+1}.
\end{cases}$$
(11)

若记 $c=1+2r+\frac{1}{4}p^2+\frac{1}{2}r^2$ 则由(10)可以显式地求出 U_1^{n+1} , U_2^{n+1} 为

 U_1^{n+1} 万式 数据 $\frac{1}{4}p^2$) $U_1^n - \frac{1}{2}(p-r)(2-r)U_2^n + \frac{1}{2}(p-r)^2U_3^n + (1+\frac{r}{2})(p+r)U_0^{n+1}$]c ,

$$U_{2}^{n+1} = \left[\frac{1}{2} (p+r)(2+r)U_{1}^{n} + (1-\frac{1}{4}p^{2}-2r^{2})U_{2}^{n} - (1+\frac{3r}{2})(p-r)U_{3}^{n} + \frac{1}{2}(p+r)^{n}U_{0}^{n+1} \right]/c$$

由(11)可以显式地求出 U_{L-2}^{n+1} 为

$$U_{L-2}^{n+1} = \left[\left(p + r \right) \left(1 + \frac{3r}{2} \right) U_{L-3}^{n} + \left(1 - \frac{1}{4} p^{2} - 2r^{2} \right) U_{L-2}^{n} - \frac{1}{2} \left(p - r \right) \left(2 + r \right) U_{L-1}^{n} + \frac{1}{2} \left(p - r \right) U_{L-1}^{n+1} \right] c,$$

$$U_{L-1}^{n+1} = \left[\frac{1}{2} \left(p + r \right) U_{L-3}^{n} + \frac{1}{2} \left(p + r \right) \left(2 - r \right) U_{L-2}^{n} + \left(1 - \frac{1}{4} p^{2} \right) U_{L-1}^{n} - \left(1 + \frac{r}{2} \right) \left(p - r \right) U_{L}^{n+1} \right] c.$$

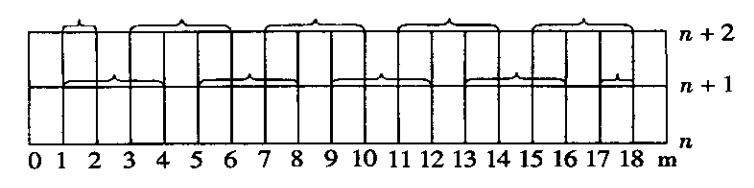


图 1 m = 19 n 为偶数时两个时间层上节点的分组模式

Fig. 1 The group modle of the points on two levels at m = 19 and n is even number

现在我们给出交替分组差分格式,考虑分点数 m 是奇数的情况,此时内点数 m-1 是偶数。我们 分两种情况讨论节点的分组模式:

当 m-1=4k+2 时,设 n 为偶数,我们在两个时间层上交替构造分组差分格式(如图 1),首先把 t_{n+1} 层上的内点划分成 k+1 个计算组。从左至右 从第 1 组至第 k 组 连续 k 个四点 GM 组 ,每组都用 格式(8),剩下的两点为 GR 两点组 ,应用格式(11)。 其次 ,在第 t_{n+2} 时间层上也划分成 k+1 个独立计 算组 从左至右 第一组为 GL 两点组 应用格式 (10) 第 (2) 组至第 (k+1) 组是 (2) 四点组 应用格式 (8)两层格式交替使用,于是得到交替分组显式(AGE)方法,其差分格式的矩阵形式是

$$\begin{cases}
(I + rG_1)U^{n+1} = (I - rG_2)U^n + b_1, \\
(I + rG_2)U^{n+2} = (I - rG_1)U^n + b_2
\end{cases}$$
(12)

式中 $U^n = (U_1^n, U_2^n, \dots U_{L-1}^n)^T$ $b_1 = ((p+r)U_0^n, 0, \dots, 0, -(p-r)U_{L-1}^{n+1})^T$ $b_2 = ((p+r)U_0^{n+2}, 0, \dots, 0, -(p-r)U_{L-1}^{n+1})^T$ $(p-r)U_{L-1}^{n+1}$ T T

$$G_{1} = \begin{bmatrix} A_{1} & & & & \\ & A_{2} & & & \\ & & A_{k} & \\ & & A_{k} & \\ & & & A_{k} \end{bmatrix}, G_{2} = \begin{bmatrix} A'' & & & \\ & A_{1} & & \\ & & & A_{2} & \\ & & & \ddots & \\ & & & -\frac{1}{2}(q+1) & \frac{3}{2} & q-1 \\ & & & -(q+1) & \frac{3}{2} & \frac{1}{2}(q-1) \\ & & & -\frac{1}{2}(q+1) & \frac{1}{2} \end{bmatrix};$$

$$A' = \begin{bmatrix} \frac{1}{2} & \frac{1}{2}(q-1) \\ -\frac{1}{2}(q+1) & \frac{3}{2} \end{bmatrix}; A'' = \begin{bmatrix} \frac{3}{2} & \frac{1}{2}(q-1) \\ -\frac{1}{2}(q+1) & \frac{1}{2} \end{bmatrix}.$$

当 m-1=4k 时 设 n 为偶数 同样 我们在两个时间层上交替构造分组差分格式 在 t ... 层上划分 k+1 个独立计算组。在靠近左边界和右边界的两点组分别应用格式(10)和(11),从第 2 组至第 k 组, 连续 k-1 个四点组 ,应用格式(8)。在 t_{n+2} 层上划分 k 个独立计算组 ,每组都是使用格式(8)的 GM 四 点组。两层格式交替使用,于是得到交替分组显式(AGE)方法 其差分格式的矩阵形式是

方数据
$$\begin{cases} (I + r\hat{G}_1)U^{n+1} = (I - r\hat{G}_2)U^n + b, \\ (I + r\hat{G}_2)U^{n+1} = (I - r\hat{G}_1)U^{n+1} + b, \end{cases}$$
(13)

 $b = ((p+r)U_0^{n+1} \ 0, \dots \ 0, -(p-r)U_{(L-1)}^{n+1})^T, b$ 是与边界条件有关的 L-1 维向量。

$$\hat{G}_1 = \begin{bmatrix} A'' & & & & & \\ & A_1 & & & & \\ & & \ddots & & & \\ & & & A_{k-1} & & \\ & & & & A' \end{bmatrix}, \hat{G}_2 = \begin{bmatrix} A_1 & & & & \\ & A_2 & & & \\ & & & A_3 & & \\ & & & & \ddots & \\ & & & & & A_k \end{bmatrix}$$

另外, 我们还可以利用(12)和(13)构造如下的(D)AGE格式:

$$\begin{cases} (I + rG_{1})U^{n+1} = (I - rG_{2})U^{n} + b_{1}, \\ (I + rG_{2})U^{n+2} = (I - rG_{1})U^{n+1} + b_{2}, \\ (I + rG_{2})U^{n+3} = (I - rG_{1})U^{n+2} + b_{3}, \\ (I + rG_{1})U^{n+4} = (I - rG_{2})U^{n+3} + b_{4}, \\ (I + r\hat{G}_{1})U^{n+1} = (I - r\hat{G}_{2})U^{n} + \overline{b_{1}}, \\ (I + r\hat{G}_{2})U^{n+2} = (I - r\hat{G}_{1})U^{n+1} + \overline{b_{2}}, \\ (I + r\hat{G}_{2})U^{n+3} = (I - r\hat{G}_{1})U^{n+2} + \overline{b_{3}}, \\ (I + r\hat{G}_{1})U^{n+4} = (I - r\hat{G}_{2})U^{n+3} + \overline{b_{4}}, \end{cases}$$

$$(15)$$

式中 b_i 和 $\overline{b_i}$ 是与边界条件有关的向量。由(12)(13)(14)和(15)给出的交替分组显式方法具有并行本性 都可以直接进行并行计算。

2 稳定性分析

为了证明方法的稳定性 我们给出两个引理:

引理 2.1 由(12)(13)(14)和(15)表示的矩阵 G_1 , G_2 , \hat{G}_1 和 \hat{G}_2 均为非负实阵。

引理 2.2 ($Kellogg^{[7]}$)设 r > 0 矩阵 G 非负实阵 则

$$\|(I + rG)^{-1}\|_{2} \le 1$$
, $\|(I - rG)(I + rG)^{-1}\|_{2} \le 1$.

定理 2.1 求解对流扩散问题(1)(2)和(3)的交替分组显式方法(12)(13)(14)和(15)是绝对稳定的。

证明:容易知道,交替分组显式方法(12)的增长矩阵为

$$G = (I + rG_2)^{-1}(I - rG_1)(I + rG_1)^{-1}(I - rG_2).$$

定义 \tilde{G} =($I+rG_2$)G $I+rG_2$) $^{-1}$ 则 G 和 \tilde{G} 相似 故他们具有相同的特征值 因此

$$\parallel G \parallel_{\, 2} \, = \, \parallel \tilde{G} \parallel_{\, 2} \, \leq \, \parallel (\, I - \, rG_1 \,) \hspace{-0.07cm} \left(\, I + \, rG_1 \, \right)^{-1} \parallel_{\, 2} \parallel (\, I - \, rG_2 \,) \hspace{-0.07cm} \left(\, I + \, rG_2 \, \right)^{-1} \parallel \, \leq 1 \, ,$$

可见 交替分组显式方法(12)是绝对稳定的。

3 数值例子

为了说明本文给出的方法可用于对流扩散方程的计算,并有据可比,我们选用了与文献 2 相同的

$$\begin{cases} \frac{\partial u}{\partial t} + \frac{\partial u}{\partial x} = \varepsilon \frac{\partial^2 u}{\partial x^2} & (0 < x < 1 \ \Omega < t < T \ \varepsilon > 0), \\ u(x \ \Omega) = 0 & (0 < x < 1), \\ u(0 \ A) = 0, u(1 \ A) = 1 & (0 < t < T) \end{cases}$$

$$(16)$$

的精确解是[2]
$$u(x,1) = \frac{e^{kx/\epsilon} - 1}{e^{k/\epsilon} - 1} + \sum_{m=1}^{\infty} \frac{(-1)^m m\pi}{(m\pi)^2 + (\frac{k}{2\epsilon})^2} e^{k(x-1)^2/2\epsilon} \sin(m\pi x) e^{-[(m\pi)^2 \epsilon + k^2/4\epsilon]t}$$
 (17)

我们对例子(16)分别采用本文的格式(9)及相对应的 Evans 和 Abdullal 12]的交替组显格式进行了计算,绝对误差和相对误差结果分别列在表 1 和表 2 中。

表 1 k = 1.0 $\varepsilon = 1.0$ $\tau = 0.0005$ h = 1/11 $R_{\Delta} = 0.045$ t = 0.4 时的数值结果

Table 1 The numerical tesults at $k = 1.0 \ \epsilon = 1.0 \ \tau = 0.0005 \ h = 1/11 \ R_{\Delta} = 0.045 \ t = 0.4$							
f)	格式(9)			. Evans			 精确解
$f(x_j)$	数值解	绝对误差	相对误差	数值解	绝对误差	相对误差	个月 14用 用牛
1	0.047948	0.000122	0.002538	0.047999	7.1E – 05	0.001477	0.04807
2	0.1011	0.00025	0.002467	0.10117	0.00018	0.001776	0.10135
3	0.1606	0.00036	0.002237	0.16072	0.00024	0.001491	0.16096
4	0.22766	0.00045	0.001973	0.22778	0.00033	0.001447	0.22811
5	0.30348	0.00052	0.001711	0.30363	0.00037	0.001217	0.304
6	0.38924	0.00056	0.001437	0.38939	0.00041	0.001052	0.3898
7	0.48603	0.00055	0.00113	0.48618	0.0004	0.000822	0.48658
8	0.5948	0.00048	0.000806	0.59494	0.00034	0.000571	0.59528
9	0.71634	0.00036	0.000502	0.71643	0.00027	0.000377	0.7167
10	0.85125	0.0002	0.000235	0.85133	0.00012	0.000141	0.85145

表 2 k = 1.0 $\epsilon = 1.0$ $\tau = 0.0005$ h = 1/11 $R_{\Delta} = 0.45$ t = 0.4 时的数值结果

Table 2	The numerical tesults at	$k = 1.0 \ \epsilon = 1.0$	$\tau = 0.0005$	h = 1/11	$R_{\Lambda} = 0.45 \ t = 0.4$	
---------	--------------------------	----------------------------	-----------------	----------	--------------------------------	--

()		格式(9)			精确解	
$f(x_j)$	数值解	绝对误差	相对误差	. Evans	个月 14円 用牛	
1	3.37E - 05	2.69E - 04	8.89E - 01		0.00030287	
2	0.00011738	7.68E - 04	8.67E - 01		0.00088542	
3	0.00032676	1.91E - 03	8.54E - 01		0.0022353	
4	0.00085866	4.57E - 03	8.42E - 01		0.0054243	
5	0.0022541	1.05E - 02	8.23E - 01	不稳定	0.012763	
6	0.0060905	2.28E - 02	7.89E - 01	小心足	0.028853	
7	0.017081	4.47E - 02	7.24E - 01		0.061799	
8	0.04891	7.46E - 02	6.04E - 01		0.12347	
9	0.13872	$8.80\mathrm{E}-02$	3.88E - 01		0.22675	
10	0.38036	-1.83E-03	-4.83E - 03		0.37853	

数值结果表明 本文对对流扩散方程给出的 AGE 算法明显优于 Evans 和 Abdullah [2]所提出的 AGE 算法 因此本文方法是一种有效算法。

参考文献:

- [1] Evans D J Abdullah A R. Alternating Group Explicit Methods for the Diffusion Equations J J. Appli Math Modelling ,1985 9 201 206.
- [2] Evans D J Abdullah A R. A New Explicit Method for the Diffusion convection Equation [J]. Comp and Math with Appl ,1985 ,11: 145 154.
- [3] 陆金甫 涨宝琳 徐涛.求解对流扩散方程的交替分段显 隐式方法 J].数值计算与计算机应用 ,1998 ,19:161 167.
- [4] 张宝琳 符鸿源. 一类交替块 Crank Nicolson 方法的差分图[J].科学通报 ,1999 40(11):1148 1152.
- [5] 王文洽.求解扩散方程的一类交替分组显式方法 J].山东大学学报 2002 37(3):194 199.
- [6] Saul 'yev V K. Integration of Techniques for Fluid Dynamics M]. Berlin Springer Verlag ,1998.
- [7] Kellog R B. An alternating direction method for operator equation [J]. SIAM ,1964 ,12(6) 848 854.

A Class Alternating Group Explicit Method for Solving Convection – Diffusion Equation

HUANG Su-zhen

(Department of Basic Science of Yancheng Institute of Technology Jiangsu Yancheng 224003 China)

Kevwords: Alternating Group Explicit Scheme; asymmetric difference schemes; unconditionally stable; parallel computing